DOI: 10.3969/j.issn.2095-1787.2019.04.009

# 不同植物对黄顶菊根际土壤微生物 和土壤养分的影响

杜鄂巍, 王 妍, 孙建茹, 闫 静, 张风娟\*河北大学生命科学学院,河北 保定 071002

摘要:【目的】不同植物对外来入侵植物的抵御能力不同,研究不同植物对入侵植物根际土壤生态的影响可为筛选入侵植物的竞争替代植物提供科学依据。【方法】利用同质园试验,以入侵植物黄顶菊为研究对象,设置黄顶菊单种、黄顶菊与不同植物(地肤、苘麻、苏丹草、反枝苋)混种处理,采用磷脂脂肪酸分析方法来研究不同植物对黄顶菊根际土壤微生物群落结构的影响,并结合土壤养分的变化探究不同植物对黄顶菊根际土壤生态的影响。【结果】与黄顶菊单种相比,地肤和苘麻降低了黄顶菊根际微生物的总含量,改变了黄顶菊根际微生物群落结构。地肤、苘麻能竞争性抑制黄顶菊对铵态氮的吸收,从而抑制黄顶菊的生长。【结论】不同植物的抵御能力与其土壤生态有关,替代植物通过改变黄顶菊根际土壤微生物,抑制黄顶菊对氮的吸收,从而抑制黄顶菊的生长,实现对黄顶菊的替代控制。

关键词: 黄顶菊; 根际土壤微生物; 土壤养分; 土壤酶活性

# Effects of different plants on soil microbial communities and nutrients in the rhizosphere soil of *Flaveria bidentis*

DU Ewei, WANG Yan, SUN Jianru, YAN Jing, ZHANG Fengjuan \*College of Life and Science, Hebei University, Baoding, Hebei 071002, China

Abstract: [Aim] Different plants have different resistance abilities to exotic species. Studying the influence mechanism of different species on the rhizosphere soil ecology of invasive species may provide a scientific basis for choosing the replacement plants. [Method] The homogenous garden experiment was used to study the ability of the four plants (Kochia scoparia (Linn.) Schrad, Abutilon theophrasti Medicus, Sorghum sudanense (Piper) Stapf and Amaranthus retroflexus L.) to resist the invasion of F. bidentis. There were five treatments in the experiment: the monoculture of F. bidentis and the mixture treatments that F. bidentis mixed with each of the four plants. The phospholipid fatty acid analysis method was used to study the effects of different plants on the microbial community structure and soil nutrient in the rhizosphere soil of F. bidentis to explored their mechanism on the rhizosphere soil ecology of F. bidentis. [Result] K. scoparia and A. theophrasti reduced the total microbial biomass and changed the microbial community structure of F. bidentis comparing to those in the monoculture treatment of F. bidentis. K. scoparia and A. theophrasti could competitively inhibit the absorption of ammonium nitrogen and then the growth of F. bidentis. [Conclusion] The resilience of different plants was related to the soil ecology. Replacement plants could inhibit growth of F. bidentis by changing the soil microbes in the rhizosphere soil and inhibiting nitrogen uptake of F. bidentis, which achieved the control of the growth and spread of F. bidentis.

Key words: Flaveria bidentis; rhizosphere soil microorganism; soil nutrients; soil enzyme activity

外来植物的成功入侵不仅依赖于其自身和入侵生态系统的特性(Millbau et al.,2005),也取决于人侵植物与入侵生态系统的相互关系(Byun & Brisson,2013)。不同植物对入侵植物的抵御能力不同,这既与植物的功能性状有关,也与土壤养分

状况密切相关(Grigulis et al., 2013; Wagg et al., 2011)。植物性状和土壤微生物是影响碳、氮输入和输出过程的重要因素。在抵御入侵植物的替代植物筛选过程中,研究者大多关注替代植物的植物性状,忽略了土壤微生物在竞争中的作用。实际

收稿日期(Received): 2019-03-15 接受日期(Accepted): 2019-05-15

基金项目: 国家自然科学基金项目(31372000); 河北省自然科学基金项目(C2015201021)

作者简介: 杜鄂巍, 男, 硕士研究生。研究方向: 入侵植物学。E-mail: 181172415@ qq.com

\* 通信作者(Author for correspondence), E-mail; fengjuanzhang@ 126.com

上,植物性状与土壤微生物之间通过植物凋落物和 植物根系分泌物建立了密切的联系,共同影响植物 的竞争生长(Ehrenfeld & Scott, 2011)。目前,土壤 微生物与植物生长和竞争能力之间的关系已有一 些报道。例如,土壤病原菌积累能够直接从植物组 织获取碳源和其他营养(Vitousek et al., 1996),减 少根部养分吸收能力(Klironomos, 2002),不利于植 物生长;而共生菌能够提高植物获取土壤中有限营 养元素的能力(Der et al., 2008),提高植物产量,促 进植物的生长(Wardle et al., 2004)。关于外来入 侵植物与土壤微生物方面的现有研究大多集中于 外来入侵植物对土壤生态的影响(Wagg et al., 2011),认为外来入侵植物改变入侵域土壤微生物 群落结构(王桔红等,2016),加速了土壤养分循环 (Callaway et al., 2004; Reinhart & Callaway, 2004), 促进了入侵植物的生长和快速扩散(刘潮等,2018; Marler et al., 1999)。如 Poon & Maherali (2015)发 现葱芥 Alliaria petiolate (M.) Cavara et Grande 入侵 可以降低入侵地土壤中从枝菌根真菌(arbuscular mycorrhizae fungi, AMF)的生物量,从而使本地植物 在与葱芥竞争过程中受到排挤,最终实现外来种的 入侵: Wang et al. (2013) 发现许多外来入侵植物根 部都会分泌一种对其根际病原体危害具有一定防 御功能的化感物质(内消旋儿茶酚); Xiao et al. (2014) 研究发现紫茎泽兰 Ageratina adenophorum Spreng、飞机草 Chromolaena odorata L.改变了土壤 真菌群落,这种改变对入侵植物的生长具有积极影 响,增加了紫茎泽兰和飞机草的生物量。不同的地 上群落结构会间接导致地下微生物群落结构的变 化(Saggar et al., 1999),而微生物又能通过正反馈 或负反馈作用调节地上植物的竞争与生长(Wagg et al.,2011)。替代植物是否通过改变土壤微生物群 落结构的变化,从而影响土壤养分的分配来抑制入 侵植物的竞争与生长,这一机制尚不清楚。因此, 探究替代植物有效防控入侵植物的土壤生态学机 制,可为替代植物的筛选提供理论依据。

恶性人侵杂草黄顶菊 Flaveria bidentis (L.) Kuntze.为一年生草本植物,原产地南美洲,2001 年首次发现于我国天津、河北,是原环境保护部公布的第二批国家重点防控外来人侵植物(石青等,2017)。黄顶菊对生物多样性、经济和环境造成了严重危害(Wan et al.,2017)。至2017年,黄顶菊已

入侵华北4省1市(河北、山东、河南、山西和天津) 的 146 个县 541 个乡镇(郑志鑫等,2018)。研究表 明,替代植物高丹草 Sorghum bicolor (L.) Moench、 紫花苜蓿 Medicago sativa L.对土壤氮素转化利用能 力比黄顶菊高,且能竞争性抑制黄顶菊对土壤磷素 的吸收,有利于实现对黄顶菊的替代控制(马杰等, 2011)。黄顶菊和反枝苋 Amaranthus retroflexus L.、 苘麻 Abutilon theophrasti Medicus 竞争生长时,黄顶 菊处于弱势地位, 究其原因是黄顶菊和这几种植物 处于同一个生态位,竞争导致黄顶菊可利用营养资 源减少,从而抑制其生长(吕远等,2011)。替代植 物地肤 Kochia scoparia (Linn.) Schrad、苘麻、苏丹 草 Sorghum sudanense (Piper) Stapf 等对黄顶菊有 一定的抑制作用(韩月龙等,2019)。此外,不同本 地植物在与黄顶菊竞争生长过程中增加了入侵域 的细菌群落多样性(闫素丽等,2011)、降低了真菌 群落多样性(常瑞恒等,2011)。那么,竞争替代植 物如何改变黄顶菊根际土壤微生物群落结构和土 壤养分,从而达到抑制黄顶菊生长的目的? 本研究 拟采用野外同质园试验,研究不同植物在与黄顶菊 竞争生长时,对黄顶菊根际微生物群落结构和土壤 理化性质的影响,以期从土壤生态角度来研究不同 植物对黄顶菊的抵御能力及相关作用机理,研究结 果将为竞争替代植物的筛选提供重要的理论依据。

# 1 材料与方法

### 1.1 试验样地概况

试验样地位于河北省廊坊市中国农业科学院廊坊科研中试基地(39°30′42″E,116°36′07″N),海拔(25±3)m,在气候分区上属于暖温带大陆性气候,该地土壤属棕色砂质黏壤土。

#### 1.2 试验设计

根据植物的生长速度、是否耐贫瘠及其经济观赏效益,选择本地常见伴生种地肤、苘麻、苏丹草、反枝苋4种植物。采用田间同质园,设置不同植物与黄顶菊混种小区,分别为地肤与黄顶菊混种(H1)、苘麻与黄顶菊混种(H2)、苏丹草与黄顶菊混种(H3)、反枝苋与黄顶菊混种(H4)以及黄顶菊混种(H0),并以裸土小区(无种植植物,CK)作为对照,每个处理5个重复,一共设置30个小区。各样地随机分布,小区大小3m×2m,所有样地间距均设置为1m。混种比例为1:1。每个小区平均种植6行,混种每行各播150粒种子,单种每行播

300 粒种子。播种后每 2 周浇 1 次水,每次滴灌 36 h。每2周进行人工除草,保持每个小区的植物种 类不变。试验于2016年4月底播种。

#### 1.3 土样采集

2016年9月,对同质园小区进行土样采集,采 用五点取样法,每个小区选取生长状况良好且能代 表小区生长状况的黄顶菊5株,抖落根部非根际土 壤,再用刷子将根上剩余的土壤轻轻刷下来,即得 到根际土。将同一小区的5株黄顶菊的根际土壤 混合为一个土样。裸土对照小区土壤的采集,去除 表层干土,沿对角线随机选取5个点,挖取0~20 cm 深的土壤。将采集的土壤样品放入自封袋,做好 标记后立即带回实验室。采回的土样过 2 mm 筛后 分成2份:一份储存于4℃冰箱内,用于测定土壤微 生物磷脂脂肪酸(phospholipid fatty acids, PLFAs)含 量;一份常温风干,用于测定土壤养分和酶活性。

### 1.4 检测指标与方法

1.4.1 土样养分和酶活性的测定 土壤速效磷含 量采用钼锑抗比色法测定:硝态氮和铵态氮含量的 测定采用 Smartchem 全自动间断化学分析仪(鲍士 旦,1981);土壤 pH 用电位法测定。土壤蔗糖酶采 用3,5-二硝基水杨酸比色法测定;土壤脲酶采用苯 酚钠-次氯酸钠比色法测定:土壤磷酸酶采用磷酸 苯二钠比色法测定:土壤蛋白酶采用茚三酮比色法 (蔡燕飞,2002; 关松荫,1986)。

1.4.2 土壤微生物群落结构的测定 参照 Frostegård et al. (1993) 和 Kourtev et al. (2002) 的 方法:①取 4 g 待测土样后置于 50 mL 离心管,然 后向离心管中加 20 mL KOH-甲醇溶液 (0.2 mol·L<sup>-1</sup>),于水浴锅中 37 ℃水浴 1 h,每 10 min 涡 旋一次(2000 r·min<sup>-1</sup>);②水浴 1 h 完成后加入 3 mL 的醋酸溶液(1 mol·L<sup>-1</sup>),充分摇匀;③再加入 10 mL 正己烷, 充分混匀后 1000 r·min<sup>-1</sup> 离心 15 min,吸取上层液置于试管之中,在氮气流下吹干; ④向吹干的试管中加入 1 mL 含有内标 19:0 的正 己烷-甲基丁基醚溶液(比例为1:1),充分溶解后 将溶液转至气相色谱进样(GC)小瓶。

测定标准品及提取的样品,气相色谱设置条件 如下:首先使柱温以5℃·min<sup>-1</sup>的速率从170℃升 高到 260 ℃, 然后以 40 ℃·min<sup>-1</sup>的速率升高到 310 ℃,维持90 s;将气化室温度设置为250 ℃、将 检测器温度设置为 300 ℃;以氢气(2 mL·min<sup>-1</sup>) 作为载气,以氮气(30 mL·min<sup>-1</sup>)作为尾吹气;柱 前压为 68.95 kPa;进样量 1 μL,分流比 100:1。根 据加入内标 19:0 的量可以计算出不同 PLFAs 的 峰面进而得出不同类型微生物的量。不同土壤微 生物类群与磷脂脂肪酸的对应关系如表1所示.参 照表1得出各种土壤微生物类群的总量。

不同土壤微生物类群与磷脂脂肪酸的对应关系

Table 1 Phospholipid fatty acids used in analysis of different soil microbial group

土壤微生物类群 Soil microbial group	磷脂脂肪酸 Phospholipid fatty acids
革兰氏阴性细菌 Gram negative bacteria	12:0; 12:0 20H; 13: 20H; 14:0; 16:0 20H; 16:1 ω9c; 17:0; 17:1 ω8c; 17:0 cyclo; 17:0 iso 30H; 18:0; 18:1 ω5c; 19:0 cycloω8c; 18:1 ω7c-11 methyl; 10:0 30H
革兰氏阳性细菌 Gram positive bacteria	13:0 anteiso; 13:0 iso; 14:0 anteiso; 14:0 iso; 15:0 anteiso; 15:0 iso; 15:1 iso G; 16:0 iso; 16:1 iso H; 17:0 anteiso; 17:0 iso; 19:0 anteiso; 19:0 iso; 20:0 iso; 11:0 20H
放线菌 Actinobacteria	14:1 ω $5c;$ $17:0$ 10-methyl; $18:0$ 10-methyl TBSA
真菌 Fungi	$18:1 \omega 9c;  18:3 \omega 6,9,12c$
丛枝菌根真菌 AMF	16 : 1 ω5c
原生生物 Protozoa	$20:4\ \omega 6,9,12,15c$
真菌/细菌 F/B	$ \begin{array}{l} (18:1\ \omega 9c+18:3\ \omega 6,9,12c)/(12:0+12:0\ 20H+13:0\ 20H+14:0+16:0\ 20H+16:1\\ \omega 9c+17:0+17:1\ \omega 8c+17:0\ cyclo+17:0\ iso\ 30H+18:0+18:1\omega 5c+19:0\ cyclo\ \omega 8c+18:1\omega 7c-11\ methyl+10:0\ 30H+13:0\ anteiso+13:0\ iso+14:0\ anteiso+14:0\ iso+15:0\ anteiso+15:0\\ 0\ iso+15:1\ iso\ G+16:0\ iso+16:1\ iso\ H+17:0\ anteiso+17:0\ iso+19:0\ anteiso+19:0\ iso+20: \end{array} $
革兰氏阴性细菌/革兰氏阳性细菌 G-/G <sup>+</sup>	0 iso+11 : 0 20H) (12 : 0+12 : 0 20H+13 : 0 20H+14 : 0+16 : 0 20H+16 : 1 $\omega$ 9c+17 : 0+17 : 1 $\omega$ 8c+17 : 0 cyclo+17 : 0 iso 30H+18 : 0+18 : 1 $\omega$ 5c+19 : 0 cyclo $\omega$ 8c+18 : 1 $\omega$ 7c-11 methyl+10 : 0 30H)/ (13 : 0 anteiso+13 : 0 iso+14 : 0 anteiso+14 : 0 iso+15 : 0 anteiso+15 : 0 iso+15 : 1 iso G+16 : 0 iso+16 : 1 iso H+17 : 0 anteiso+17 : 0 iso+19 : 0 anteiso+19 : 0 iso+20 : 0 iso+11 : 0 20H)

#### 1.5 数据分析

统。根据加入内标 19:0 的量可以计算出不同PLFAs 磷脂脂肪酸成分分析采用美国 MIDI 公司生产的 的吸光度 进而得出不同类型微生物的量。试验数据 基于细菌细胞脂肪酸成分鉴定的 Sherlock MIS 4.5 系 采用平均值±标准差表示,用 Excel 2010 软件统计作 图,利用 SPSS 21.0 统计软件进行单因素方差分析 (One-way ANOVA),采用 Duncan's 多重比较进行之后的两两比较,P=0.05。对各样地土壤微生物群落组成进行主成分分析 (principal components analysis,PCA),计算各因子的贡献率,利用主成分分析因子的载荷量算出各因子作用的大小,以确定它们的权重。采用 Canoco 4.5 软件对土壤微生物和土壤养分酶活性二者进行典范对应分析 (canoninal correspondence analysis, CCA),以土壤微生物作为物种变量,土壤养分和酶活性数据作为环境变量进行典范对应分析,确定土壤微生物和各因子之间的关系。

## 2 结果与分析

# 2.1 不同植物对黄顶菊根际土壤酶活性和养分的 影响

从表 2 可见,与裸土对照(CK)相比,黄顶菊单种处理(H0)的酸性磷酸酶、脲酶、蛋白酶活性显著升高,碱性磷酸酶活性降低,表明黄顶菊入侵后改变了土壤的酶活性。与黄顶菊单种处理(H0)相比,地

肤与黄顶菊混种处理(H1)碱性磷酸酶、蛋白酶活性显著升高,脲酶活性显著降低;苘麻与黄顶菊混种处理(H2)脲酶、蛋白酶活性显著降低;苏丹草与黄顶菊混种处理(H3)酸性磷酸酶、脲酶活性显著升高;反枝苋与黄顶菊混种处理(H4)碱性磷酸酶和脲酶活性显著升高。说明不同植物在与黄顶菊竞争生长中改变了黄顶菊根际土壤酶活性。

从表 3 可知,黄顶菊入侵显著降低土壤硝态氮含量,显著增加土壤速效磷和铵态氮含量。与黄顶菊单种(H0)处理相比,不同植物与黄顶菊混种处理中,土壤速效磷含量均显著减少。地肤与黄顶菊混种处理(H1)中,土壤 pH 值、铵态氮含量显著增加;苘麻与黄顶菊混种处理(H2)中,土壤 pH 显著降低,铵态氮含量显著增加;苏丹草与黄顶菊混种处理(H3)中,铵态氮含量显著减少;反枝苋与黄顶菊混种处理(H3)中,铁态氮含量显著减少;反枝苋与黄顶菊混种处理(H4)中,土壤 pH 值显著减少。说明不同植物在与黄顶菊竞争生长中改变了黄顶菊根际土养分含量。

表 2 不同植物对黄顶菊根际土壤酶活性的影响
Table 2 Effect of different plants on rhizosphere soil activities of F. bidentis

处理	根际土壤酶活性 Rhizosphere soil enzyme activity/(mg·g <sup>-1</sup> ·h <sup>-1</sup> )						
Treatment	酸性磷酸酶	碱性磷酸酶	脲酶	蛋白酶			
	Acid phosphatase	Alkaline phosphatase	Urease	Protease			
CK	0.85±0.11d	$0.21 \pm 0.12 bc$	$3.46 \pm 0.17 \mathrm{d}$	3.06±0.14c			
H0	$1.00 \pm 0.03 \text{bc}$	$0.16 \pm 0.09 c$	$4.60 \pm 0.12 b$	$4.55 \pm 0.09 \mathrm{b}$			
HI	$0.94 \pm 0.05 \text{bcd}$	$0.84 \pm 0.49a$	$4.02 \pm 0.20 c$	$4.79 \pm 0.06a$			
H2	1.05±0.03b	$0.28{\pm}0.16{\rm bc}$	$3.96 \pm 0.44 c$	$3.30 \pm 0.19 c$			
Н3	1.35±0.04a	$0.23{\pm}0.13\mathrm{bc}$	$5.39 \pm 0.39a$	$4.62 \pm 0.06 ab$			
H4	$0.94{\pm}0.28{\rm bcd}$	$0.55 \pm 0.32 \mathrm{b}$	5.83±0.01a	4.56±0.11b			

同列数据(平均值±标准差)后不同字母表示差异显著 (P<0.05)。CK:对照;H0:黄顶菊单种;H1:地肤+黄顶菊;H2:苘麻+黄顶菊;H3:苏丹草+黄顶菊; H4:反枝苋+黄顶菊。

The data(mean  $\pm$  SD) in the same column with the different letters indicate significant differences (P<0.05). CK; Blank; H0; F. bidentis; H1; K. scoparia +F. bidentis; H2; A. theophrasti +F. bidentis; H3; S. sudanense +F. bidentis; H4; A. retroflexus +F. bidentis.

# 2.2 不同处理中黄顶菊根际土壤养分与土壤酶活性相关性分析

从表 4 可以看出,土壤碱性磷酸酶活性与酸性磷酸酶活性极显著正相关(r=0.57);蛋白酶活性与碱性磷酸酶活性显著正相关(r=0.42);铵态氮含量与脲酶活性极显著负相关(r=-0.53);速效磷含量与碱性磷酸酶活性极显著正相关(r=0.66),与蛋白酶活性显著正相关(r=0.42);硝态氮含量与蛋白酶活性显著负相关(r=-0.43),与速效磷含量极显著负相关(r=-0.56)。

#### 2.3 不同植物对黄顶菊根际土壤微生物的影响

2.3.1 土壤微生物 PLFAs 总量的变化 图 1 表示不同植物(组合)对黄顶菊根际土壤微生物 PLFAs 总量的影响,与空白裸土对照相比,黄顶菊单种的 PLFAs 含量增加了 18%,说明黄顶菊入侵显著增加土壤中 PLFAs 的含量。与黄顶菊单种处理(H0)相比,地肤与黄顶菊混种处理(H1)中,黄顶菊根际土壤中 PLFAs 含量降低 11%。表明地肤在与黄顶菊竞争生长中改变了黄顶菊根际微生物的含量。

### 表 3 不同植物对黄顶菊根际土壤养分的影响

Table 3 Effect of different plants on rhizosphere soil nutrients F. bidentis

处理 Treatment		铵态氮含量	硝态氮含量	速效磷含量		
	pН	Ammonium nitrogen content/	Nitrate nitrogen content/	Effective phosphorus content/		
		( mg • kg <sup>-1</sup> )	$(\text{mg} \cdot \text{kg}^{-1})$	( μg · g <sup>-1</sup> )		
CK	$8.16 \pm 0.01 \mathrm{b}$	$3.09 \pm 0.17 c$	$3.47 \pm 0.38a$	$0.19 \pm 0.06 c$		
H0	$8.10{\pm}0.02\mathrm{bc}$	$4.66 \pm 1.49 \mathrm{b}$	$2.14 \pm 0.07 c$	2.87±0.17a		
H1	$8.18 \pm 0.02a$	$13.60 \pm 4.69a$	$2.53 \pm 0.14 \mathrm{b}$	$1.25 \pm 0.27 \mathrm{b}$		
H2	$8.04 \pm 0.00 e$	16.48±1.13a	$1.98 \pm 0.29 \mathrm{d}$	$1.25 \pm 0.49 \mathrm{b}$		
Н3	$8.08{\pm}0.01{\rm cd}$	$2.92 \pm 0.45 c$	$2.43 \pm 0.14 \mathrm{b}$	$1.15 \pm 0.22 \mathrm{b}$		
H4	$8.09 \pm 0.02 d$	4.90±2.54b	2.12±0.33c	1.28±0.32b		

同列数据(平均值±标准差)后不同字母表示差异显著 (P<0.05)。CK:对照;H0:黄顶菊单种;H1:地肤+黄顶菊;H2:苘麻+黄顶菊;H3:苏丹草+黄顶菊;H4:反枝苋+黄顶菊。

The data(mean ± SD) in the same column with the different letters indicate significant differences (P<0.05). CK; Blank; H0; F. bidentis; H1; K. scoparia+F. bidentis; H2; A. theophrasti+F. bidentis; H3; S. sudanense+F. bidentis; H4; A. retroflexus+F. bidentis.

表 4 不同处理中黄顶菊根际土壤养分与土壤酶活性相关性

Table 4 Correlations between soil nutrients and soil enzyme activities of rhizosphere of F. bidentis

指标 Factors	酸性磷酸酶 Acid phosphatase	碱性磷酸酶 Alkaline phosphatase	脲酶 Urease	蛋白酶 Protease	рН	速效磷 Effective phosphorus	铵态氮 Ammonium nitrogen
碱性磷酸酶 Alkaline phosphatase	0.57 * *			/			
脲酶 Urease	-0.36	-0.05			( 'n\		
蛋白酶 Protease	0.29	0.42 *	-0.08				
pH	-0.17	-0.01	-0.32	0.30			
速效磷 Effective phosphorus	0.37	0.66 * *	-0.13	0.42 * *	-0.20		
铵态氮 Ammonium nitrogen	-0.17	-0.39	-0.53**	0.32	0.19	-0.14	
硝态氮 Nitrate nitrogen	-0.26	-0.24	0.03	-0.43 *	0.36	-0.56 * *	-0.37

<sup>\*</sup> 和 \* \* 分别表示在 P<0.05 和 P<0.01 水平上差异显著。

<sup>\*</sup> and \* \* represent significant difference at P<0.05 and 和 P<0.01 level respectively.

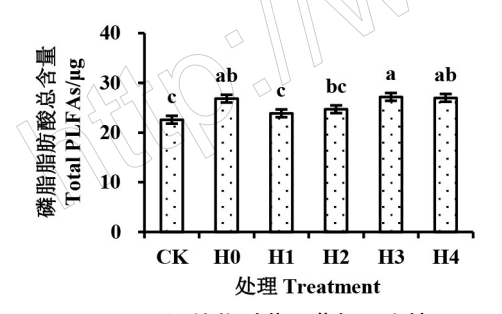


图 1 不同植物对黄顶菊根际土壤 PLFAs 总量的影响

Fig.1 Effect of different plants on the content of total PLFAs of rhizosphere soil of *F. bidentis* 

不同字母表示差异显著 (P<0.05)。CK:对照; H0:黄顶菊单种;H1:地肤+黄顶菊;H2:苘麻+黄顶菊; H3:苏丹草+黄顶菊;H4:反枝苋+黄顶菊。

The different letters indicate significant differences (P<0.05).

CK: Blank; H0: F. bidentis; H1: K. scoparia+F. bidentis;

H2: A. theophrasti+F. bidentis; H3: S. sudanense+F. bidentis;

H4: A. retroflexus+F. bidentis.

2.3.2 不同植物对黄顶菊根际土壤微生物各类群的影响 从表 5 可知,与裸土对照(CK)相比,黄顶菊人侵后革兰氏阳性菌、真菌、AMF 显著增加。地肤与黄顶菊混种处理(H1)中,革兰氏阴性菌、放线菌、真菌、AMF 的 PLFAs 含量均显著低于黄顶菊单种处理; 苘麻与黄顶菊混种处理(H2)中,放线菌、真菌的 PL-

FAs 含量均显著低于黄顶菊单种处理;苏丹草与黄顶菊混种处理(H3)中,革兰氏阳性菌 PLFAs 含量显著高于黄顶菊单种处理;革兰氏阴性菌和真菌的含量显著低于黄顶菊单种处理;反枝苋与黄顶菊混种处理(H4)中革兰氏阴性菌的 PLFAs 显著高于黄顶菊单种处理;放线菌、真菌的 PLFAs 含量显著低于黄顶菊单种。与黄顶菊单种处理(H0)相比,所有处理中原生生物的 PLFAs 含量均显著增加。真菌与细菌的比值(F/B)均呈降低趋势;革兰氏阴性菌与革兰氏阳性菌的比值(G<sup>-</sup>/G<sup>+</sup>)在地肤与黄顶菊混种处理(H1)中显著增加,在其他处理中均显著降低。

2.3.3 黄顶菊根际土壤微生物群落结构的主成分分析 不同植物与黄顶菊竞争生长对黄顶菊的根际土壤微生物的影响不同。主成分分析结果(图2A)表明,主成分1(贡献率26.22%)、主成分2(贡献率17.61%)和主成分3(贡献率11.61%)的累计总贡献率为55.44%。3个主成分基本上能把不同处理的微生物群落结构区分开。对土壤微生物群落结构来说,裸土对照处理(CK)在主成分1、主成分2的负方向,主成分3的正方向;黄顶菊单种处理

· 297 ·

(H0)在主成分 1 负方向,主成分 2、主成分 3 的正方向,说明黄顶菊入侵后改变了土壤的微生物群落结构。地肤与黄顶菊混种处理(H1)和苘麻与黄顶菊混种处理(H2)的主成分 1、主成分 2 和主成分 3 分布在原点附近,且两个处理有重叠,说明两个处理的土壤微生物群落结构差异不大;苏丹草与黄顶菊混种处理(H3)的土壤微生物群落结构在主成分 1 的正方向,主成分 2、主成分 3 的原点附近;反枝苋与黄顶菊混种处理(H4)的土壤微生物群落结构在主成分 1 的正方向,主成分 2 的原点附近,主成分 3 的负方向;所有处理与黄顶菊单种处理均无重叠,说明不同植物与黄顶菊混种处理均改变了土壤的微生物群落结构。

载荷因子分析结果如图 2B 所示,结合图 2A 可

以看出,不同的植物与黄顶菊混种的优势脂肪酸不同。结合不同处理黄顶菊根际土壤微生物 PLFAs量得出,黄顶菊单种处理(H0)的优势脂肪酸为 18:1 ω5c、17:0 10-methyl、18:3 ω6c(6,9,12);地肤与黄顶菊混种处理(H1)中的优势脂肪酸为 11:0 iso、15:1 iso G;苘麻与黄顶菊混种处理(H2)的优势脂肪酸为 11:0 iso;苏丹草与黄顶菊处理(H3)的优势脂肪酸为 14:0 anteiso;反枝苋与黄顶菊混种处理(H4)的优势脂肪酸 10:0 3OH、18:1 ω9c;对黄顶菊有抑制作用的植物地肤和苘麻的组合中黄顶菊的根际土壤的优势脂肪酸均含有 11:0 iso,且含量显著高于其他处理。由此表明,不同的植物对黄顶菊根际土壤微生物群落结构的影响有明显不同。

表 5 不同植物对黄顶菊根际土壤微生物各类群的影响

	PLFAs 含量/(μg·g <sup>-1</sup> )						革兰氏阴性细菌/	
处理 Treatment	革兰氏阴性 细菌 Gram negative bacteria	革兰氏阳性 细菌 Gram positive bacteria	放线菌 Actinobacteria	真菌 Fungi	丛枝菌根 真菌 AMF	原生生物 Protozoa	真菌/细菌 (F/B)	革兰氏阳性细菌 (G <sup>-</sup> /G <sup>+</sup> )
CK	$5.50 \pm 0.57 bc$	$5.64 \pm 0.55 d$	1.26±0.08ab	4.13±0.65b	0.75±0.11d	$0.41 \pm 0.06a$	$0.33 \pm 0.04 ab$	0.98±0.03a
H0	$5.74 \pm 0.62 \mathrm{b}$	7.16±0.77bc	1.40±0.39a	5.02±0.82a	$1.56{\pm}0.29{\rm ab}$	$0.00{\pm}0.00\mathrm{b}$	$0.36 \pm 0.11a$	$0.80 \pm 0.01 c$
H1	$5.44 \pm 0.24 c$	6.20±0.24c	1.04±0.09c	$3.44{\pm}0.36{\rm bc}$	$1.19 \pm 0.05 c$	$0.35 \pm 0.06a$	$0.27{\pm}0.03{\rm bc}$	$0.88 \pm 0.02 \mathrm{b}$
H2	$5.71 \pm 0.13 \mathrm{b}$	7.74±0.16ab	1.08±0.04c	$3.12 \pm 0.04 c$	$1.35{\pm}0.04{\rm bc}$	$0.33 \pm 0.04a$	$0.21 \pm 0.01 c$	$0.74 \pm 0.02 \mathrm{d}$
Н3	4.95±0.17d	8.23±0.20a	1.12±0.03b	$3.53{\pm}0.06{\rm bc}$	$1.45 \pm 0.04 \mathrm{b}$	$0.35 \pm 0.02a$	$0.25 \pm 0.01 c$	$0.60 \pm 0.01 e$
H4	6.11±0.07a	7.80±0.16ab	$1.19 \pm 0.04 \mathrm{b}$	$4.05 \pm 0.04 \mathrm{b}$	1.75±0.03a	$0.37 \pm 0.03a$	$0.27 \pm 0.00 bc$	$0.78 \pm 0.03 c$

Table 5 Effect of different plants on soil microbial groups of rhizosphere soil of F. bidentis

同列数据(平均值±标准差)后不同字母表示差异显著 (P<0.05)。CK:对照;H0:黄顶菊单种;H1:地肤+黄顶菊;H2:苘麻+黄顶菊;H3: 苏丹草+黄顶菊;H4:反枝苋+黄顶菊。

The data (mean ± SD) in the same column with the different letters indicate significant differences (P<0.05). CK; Blank; H0; F. bidentis; H1; K. scoparia+F. bidentis; H2; A. theophrasti+F. bidentis; H3; S. sudanense+F. bidentis; H4; A. retroflexus+F. bidentis.

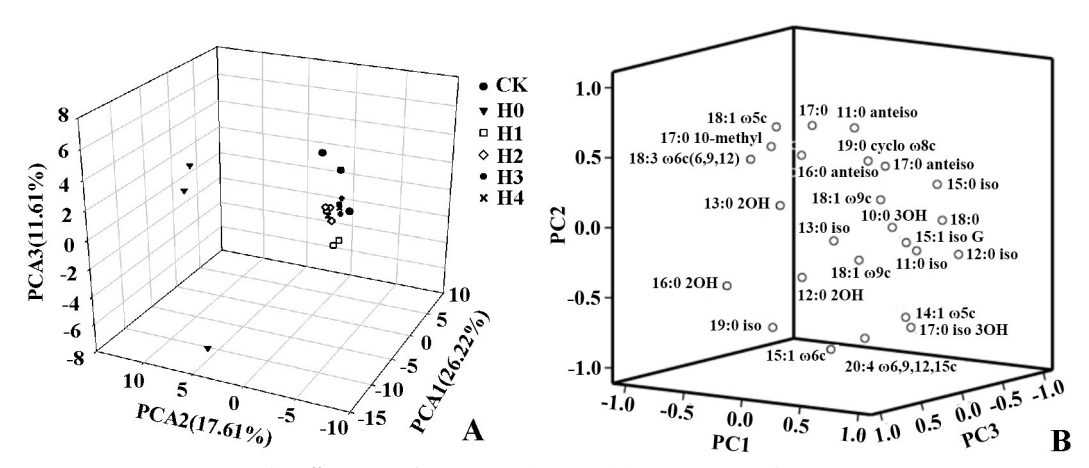


图 2 黄顶菊根际土壤微生物群落结构的主成分分析及载荷因子贡献

Fig. 2 Principal components analysis of PLFAs profiles from rhizosphere soil microbial communities and loadings factors of PLFAs contributing to soil microbial communities ordination pattern of *F. bidentis* A:主成分;B:载荷因子贡献。

A: The principal components; B: Load factor contribution.

# 2.4 不同处理中黄顶菊根际土壤微生物与土壤养分和酶活性的相关性分析

图 3 为黄顶菊根际土壤微生物与土壤养分和酶活性的典范对应分析,前 2 个排序轴的贡献率分别为 51.5%和 65.5%。由图 3 可知,其中 14:0 anteiso、18:1  $\omega$  9c、11:0 iso、14:0 iso 与铵态氮有关,14:0 iso 还与蛋白酶有关,18:1  $\omega$ 7c 与 pH 有关,18:1  $\omega$ 5c、17:0 10-methyl 与硝态氮有关,12:00、13:00 与 P、酸性磷酸酶有关。12:0 anteiso、15:1 iso G 与脲酶有关,15:0 iso、16:1  $\omega$ 5c与碱性磷酸酶有关。综上所述,不同植物对黄顶菊根际土壤微生物的影响不同,其中大多数微生物与黄顶菊根际土氮营养含量有关。

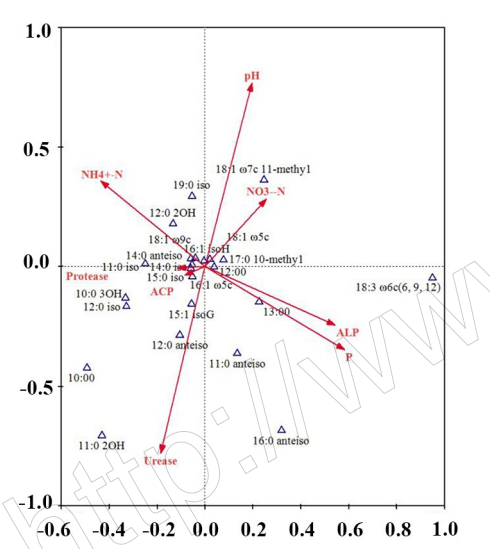


图 3 不同处理中黄顶菊根际土壤微生物与土壤养分和酶活性的典范对应分析

Fig.3 Canonical correspondence analysis between soil microbes and soil nutrient and enzyme activities in the invaded land of *F. bidentis* 

# 3 讨论与结论

替代植物在与入侵植物竞争过程中会改变对入侵植物有利的土壤条件,如土壤微生物、养分和酶活性,并借此增强自身的竞争能力,有效抑制入侵植物的扩散。土壤酶活性对土壤有效养分的变化有重要作用,而养分吸收是影响植物间竞争生长的主要因素。蒋智林等(2008)研究表明,非洲狗尾草 Setaria anceps Stapf ex Massey 改变了紫茎泽兰的土壤酶活性,并认为土壤酶活性的差异是引起土壤有效养分变化的重要驱动之一。本研究表明,地肤与黄顶菊混种、苘麻与黄顶菊混种与黄顶菊单种相比,黄顶菊根际土脲酶含量显著降低,铵态氮含量

显著增加。相关性分析脲酶与铵态氮含量显著负 相关,脲酶是一种专性酶,分解有机物生成氨,氨是 土壤氮素的直接来源,可表示土壤氮素的状况。表 明地肤、苘麻能提高土壤可利用氮的能力。结合植 物地上功能性状分析发现,与黄顶菊单种相比,地 肤与黄顶菊混种、苘麻与黄顶菊混种中黄顶菊植株 全氮含量显著降低(韩月龙等,2019),说明地肤、苘 麻能竞争性抑制黄顶菊对氮的吸收。而本研究从 土壤方面发现地肤、苘麻与黄顶菊混种对黄顶菊根 际土壤的铵态氮含量增加,硝态氮含量不变,说明 地肤、苘麻能竞争性抑制黄顶菊后铵态氮的吸收。 氮在植株体内和植株叶片水平分配的较小变化都 会对植株生长和竞争产生较大影响(Feng et al., 2009)。Zhang et al. (2015)研究表明, 氮肥添加有利 于黄顶菊的竞争生长、而且黄顶菊更倾向于吸收铵 态氮(李科利,2018)。因此,通过本研究获知替代 植物可通过降低黄顶菊对铵态氮的吸收而达到有 效抑制黄顶菊竞争生长的目的。

另外,土壤微生物在植物竞争生长中起着重要 作用,其中替代植物可通过改变土壤微生物群落结 构而影响土壤养分循环。如闫素丽等(2011)研究 表明高丹草、向日葵 Helianthus annuus L.、紫花苜蓿 和多年生黑麦草 Lolium perenne L.4 种他替代植物与 黄顶菊混种后,提高了土壤细菌群落多样性。闫静 等(2016)研究表明,藜 Chenopodium serotinum L.、狗 尾草 Setaria viridis L.与三叶鬼针草 Bidens pilosa L. 混种改变了三叶鬼针草的微生物群落结构。罗雪 晶等 (2018) 研究表明狗尾草、草木樨 Melilotus suaveolens L.与黄顶菊混种改变了黄顶菊根际土的 微生物含量和群落结构。皇甫超河等(2010)研究 表明,紫花苜蓿通过根系分泌物改变黄顶菊入侵地 的土壤微生物群落结构,使其向有利于替代植物的 群落结构转变。常瑞恒等(2011)研究表明,替代植 物降低了黄顶菊根际真菌群落多样性,形成了不利 于黄顶菊生长的土壤环境,实现了对其替代防控。 本研究表明,地肤、苘麻与黄顶菊竞争中黄顶菊根 际土 PLFAs 总量显著降低,说明地肤、苘麻在与黄 顶菊竞争生长中改变了黄顶菊根际土壤微生物群 落结构。黄顶菊单种根际土优势脂肪酸为 17:0 10methyl、18:1 ω5c 和 18:3 ω6c (6,9,12), 而地肤与 黄顶菊混种时其优势脂肪酸为 11:0 iso 和 15:1 iso G, 苘麻与黄顶菊混种时其优势脂肪酸为 11:0 iso。 说明不同替代植物与黄顶菊竞争生长能改变根际土 的优势脂肪酸。通过典范性对应分析发现,11:0 iso 与铵态氮含量相关,说明地肤和苘麻通过改变土壤微 生物使得土壤氮的活化能力提高。这种改变可能与 地肤和苘麻的根系分泌物有关。Zu et al. (2007)研 究表明,喜树 Camptotheca acuminata 能够通过根系 分泌物改变紫茎泽兰根际真核微生物群落结构,从 而抑制其传播。黄顶菊根际聚集的 AMF 在竞争生 长中对黄顶菊产生了偏利反馈,有助于黄顶菊的入 侵(张玉曼等,2015; Zhang et al.,2017)。在本研究 中,地肤与黄顶菊混种根际土中 AMF 含量显著低于 黄顶菊单种土壤。土壤中根际分泌物可以直接或 间接抑制或促进一些 AMF 的生长,从而影响入侵植 物的生长(于文清等,2012)。推测地肤可能通过根 系分泌物改变 AMF 与黄顶菊的互惠共生关系从而 影响黄顶菊的生长。

综上所述,地肤、苘麻能竞争性抑制黄顶菊对 铵态氮的吸收从而对黄顶菊的生长产生抑制作用; 地肤、苘麻能够改变黄顶菊入侵地的微生物群落结 构从而影响黄顶菊对养分的吸收,这可能与其根系 分泌物有关,而这些根系分泌物与黄顶菊的化感作 用之间是否存在相互作用,到底是如何影响微生物 群落结构变化,需要更进一步的研究。

## 参考文献

- 鲍士旦,1981. 土壤农化分析.3 版. 北京:中国农业出版社. 蔡燕飞,廖宗文,2002. 土壤微生物生态学研究方法进展. 土壤与环境,11(2):167-171.
- 常瑞恒,皇甫超河,杨殿林,常泓,2011.生物替代对黄顶菊根际土壤真菌群落多样性的影响.中国农学通报,27 (33):60-66.
- 关松荫, 1986. 土壤酶及其研究方法. 北京: 农业出版社.
- 韩月龙,杨康,孔令杰,柳旭,闫静,张风娟,2019.不同植物(组合)对人侵杂草黄顶菊功能性状的影响.生物安全学报,28(2):140-146.
- 皇甫超河,张天瑞,刘红梅,李刚,赖欣,杨殿林,2010. 三种牧草植物对黄顶菊田间替代控制. 生态学杂志,29(8):1511-1518.
- 蒋智林, 刘万学, 万方浩, 李正跃, 2008. 紫茎泽兰与非洲 狗尾草单、混种群落土壤酶活性性和土壤养分的比较. 植物生态学报, 32(4): 900-907.
- 李科利,2018. 种间竞争对入侵植物黄顶菊氮素利用策略的影响. 硕士学位论文. 北京: 中国农业科学院.

- 刘潮,韩利红,宋培兵,张亚萍,2018. 土壤微生物对紫茎 泽兰与我国西南当地植物生长的影响. 江苏农业科学,46 (7):104-107.
- 吕远, 王贵启, 郑丽, 倪汉文, 2011. 入侵植物黄顶菊与本地植物的竞争. 生态学杂志, 30(4): 677-681.
- 罗雪晶,2018. 不同入侵时间外来菊科植物根际土壤微生物和土壤养分的比较研究. 硕士学位论文. 保定:河北大学. 马杰,皇甫超河,易津,杨殿林,2011.4种替代植物对黄顶菊入侵土壤养分和酶活性的影响.生态环境学报,20(5):805-812.
- 石青, 陈雪, 罗雪晶, 陈凤新, 任晓鸿, 2017. 京津冀外来入侵植物的种类调查与分析. 生物安全学报, 26(3): 215-223.
- 王桔红,张丽娜,陈学林,陈文,2016. 入侵植物对根际土壤 微生物群落影响的研究进展. 生态科学,35(6):204-210.
- 闫静, 张晓亚, 陈雪, 王月, 张风娟, 万方浩, 2016. 三叶鬼针草与不同本地植物竞争对土壤微生物和土壤养分的影响. 生物多样性, 24(12): 1381-1389.
- 闫素丽,皇甫超河,李刚,左照江,马杰,杨殿林,2011.四 种牧草植物替代控制对黄顶菊入侵土壤细菌多样性的影响。植物生态学报,35(1):45-55.
- 于文清,周文,万方浩,刘万学,2012. 丛枝菌根真菌 (AMF)对外来植物入侵反馈机制的研究进展. 生物安全 学报,21(1):1-8.
- 张玉曼, 王月, 李乔, 张风娟, 万方浩, 2015. AM 真菌影响 人侵植物黄顶菊与本土物种狗尾草竞争生长的机理研究. 西北植物学报, 35(6): 1215-1221.
- 郑志鑫, 王瑞, 张风娟, 万方浩, 2018. 外来入侵植物黄顶菊在我国的地理分布格局及其时空动态. 生物安全学报, 27(4): 295-299.
- BYUN C, BLOIS S, BRISSON J, 2013. Plant functional group identity and diversity determine biotic resistance to invasion by an exotic grass. *Journal of Ecology*, 101(1): 128-139.
- CALLAWAY R M, THELEN G C, RODRIGUEZ A, HOLBEN W E, 2004. Soil biota and exotic plant invasion. *Nature*, 427: 731-733.
- CALLAWAY R M, CIPOLLINI D, BARTO K, THELEN G C, HALLETT S G, PRATI D, PRATI D, 2008. Novel weapons: invasive plant suppresses fungal mutualists in America but not in its native europe. *Ecology*, 89(4): 1043-1055.
- DER HEIJDEN M G, BARDGETT R D, VAN STRAALEN N M, 2008. The unseen majority: soil microbes as drivers of plant diversity and productivity in terrestrial ecosystems. *Ecology Letters*, 11(3): 296–310.
- EHRENFELD J G, SCOTT N A, 2001. Invasive species and the soil: effects on organisms and ecosystem processes 1. *Ecological Applications*, 11(5): 1259–1260.

- FENG Y L, LEI Y B, WANG R F, CALLAWAY R M, VALI-ENTEBANUET A, INDERJIT, LI Y P, ZHENG Y L, 2009. Evolutionary tradeoffs for nitrogen allocation to photosynthesis versus cell walls in an invasive plant. *Proceedings of the Na*tional Academy of Sciences of the United States of America, 106(6): 1853–1856.
- FROSTEGÅRD Å, TUNLID A, BÅÅTH E, 1993. Phospholipid fatty acid composition, biomass, and activity of microbial communities from two soil types experimentally exposed to different heavy metals. *Applied and Environmental Microbiology*, 59(11): 3605–3617.
- GRIGULIS K, LAVOREL S, KRAINER U, LEGAY N, BAX-ENDALE C, DUMONT M, KASTL E, AMOLDI C, BARDGETT R D, POLY F, POMMIER T, SCHLOTER M, TAPPEINER U, JEAN M B, CLÉMENT J C, 2013. Relative contributions of plant traits and soil microbial properties to mountain grassland ecosystem services. *Journal of Ecology*, 101(1): 47–57.
- KLIRONOMOS J N, 2002. Feedback with soil biota contributes to plant rarity and invasiveness in communities. *Nature*, 417: 67–70.
- KOURTEV P S, EHRENFELD J G, HÄGGELOM M, 2002, Exotic plant species alter the microbial community structure and function in the soil. *Ecology*, 83(11): 3152-3166.
- MARLER M J, ZABINSKI C A, CALLAWAY R M, 1999. Mycorrhizae indirectly enhance competitive effects of an invasive forb on a native bunchgrass. *Ecology*, 80(4): 1180–1186.
- MILLBAU A, NUS 1, DE RAEDEMAECKER F, REHEUL D, DE CAUWER B, 2005. Invasion in grassland gaps: the role of neighbourhood richness, light availability and species complementarity during two successive years. *Functional Ecology*, 19(1): 27–37.
- POON G T, MAHERALI H, 2015. Competitive interactions between a nonmycorrhizal invasive plant, *Alliaria petiolata*, and a suite of mycorrhizal grassland, old field, and forest species. *Peer J*, 3(7): e1090.
- REINHART K O, CALLAWAY R M, 2004. Soil biota facilitate exotic acer invasions in Europe and north America. *Ecological Applications*, 14(6): 1737–1745.

- SAGGAR S, MCINTOSH P D, HEDLEY C B, KNICKER H, 1999. Changes in soil microbial biomass, metabolic quotient, and organic matter turnover under *Hieracium* (*H. pilosella* L.). *Biology and Fertility of Soils*, 30(3): 232–238.
- VITOUSEK P M, DANTONIO C M, LOOPE L, WEST-BROOKS R, 1996. Biological invasions as global environmental change. *American Scientist*, 84(5): 468–478.
- WAGG C, JANSA J, STADLER M, SCHMID B, DER HEIJDEN M G, 2011. Mycorrhizal fungal identity and diversity relaxes plant-plant competition. *Ecology*, 92(6): 1303–1313.
- WAN F H, JIANG M X, ZHAN A B, 2017. Biological invasions and its management in China. Berlin: Springer.
- WANG C M, LI T C, JHAN Y L, WENG J H, CHOU C H, 2013. The impact of microbial biotransformation of catechin in enhancing the allelopathic effects of rhododendron formosanum. *PLoS ONE*, 8(12): e85162.
- WARDLE D A, BARDGETT R D, KLIRONOMOS J N, SETA-LA H, DER PUTTEN W H, WALL D H, 2004. Ecological linkages between aboveground and belowground biota. *Science*, 304: 1629–1633.
- XIAO H F, FENG Y L, SCHAEFER D, YANG X, 2014. Soil fungi rather than bacteria were modified by invasive plants, and that benefited invasive plant growth. *Plant and Soil*, 387 (1/2): 253-264.
- ZHANG F J, CHEN F X, LI Q, XU H Y, JIA Y Y, 2015.
  Effects of nitrogen addition on the competition between the invasive species *Flaveria bidentis* and two native species.
  Russian Journal of Ecology, 46(4): 325-331.
- ZHANG F J, LI Q, CHEN F X, XU H Y, INDERJIT, WAN F, 2017. Arbuscular mycorrhizal fungi facilitate growth and competitive ability of an exotic species *Flaveria bidentis*. Soil Biology & Biochemistry, 115: 275-284.
- ZU Y G, GAO C Y, WANG W J, YANG F J, LIU Y, WANG M, ZHAO Y G, 2007. Characteristics of the microbial community in rhizosphere of camptotheca acuminata cultured with exotic invasive plant eupatorium adenophorum. Science in China, 50(1); 22-30.

(责任编辑:郑姗姗 郭莹)